

日本鋼管 正員 龍尾 順一  
広島工業大学 学生員 小野村 清  
広島工業大学 正員 中山 隆弘

〔1〕 すえがき 通常、波力を受ける撓性円柱構造物の運動方程式は、波と構造物の相互作用のために非線形多元連立方程式になる。例えば Selma 等<sup>1)</sup>はこの連立方程式を、いわゆるモード法と逐次積分法によって解き、今井・成田<sup>2)</sup>は同手法を利用して、規則波によるパイプの応答解析を行なっている。しかし、これまでの研究の多くが分布波力を集中力(節点力)に置換する方法に問題を残し、さらに厳密には時間関数であるべき付加質量マトリックスを非時間関数としている点に検討の余地があるように思われる。本研究ではこれらの点を改良し、波浪による円柱構造物の動的解析を行ない、より高精度の解を得ることを目的としている。

〔2〕 基礎式 円柱をいくつかの要素に分割し、抗力および質量力による曲げ振動に対する運動方程式をマトリックス表示すれば、次の通りである。ただし波力式としては、Morison, O'brien, Johnson, Shaarf の提案式を用いた。

$$[(M) + (M_a)] \{(\ddot{u})_t + [C] \{(\dot{u})_t + [K] \{u\}_t = [C_o]_t \{(\ddot{v})_t + [C_m] \{(\ddot{v})_t \quad (1)$$

式中  $[M]$ : 質量マトリックス  $[M_a]_t$ : 付加質量マトリックス  $[C]$ : 減衰マトリックス  
 $[K]$ : 刚性マトリックス  $[C_o]_t$ : 抗力係数マトリックス  $[C_m]_t$ : 質量係数マトリックス  
 $\{u\}_t, \{\dot{u}\}_t, \{\ddot{u}\}_t$ : それぞれ節点変位、速度、加速度ベクトル  
 $\{v\}_t$ : 水粒子の水平方向加速度  $\{v'\}_t$ : 水粒子と円柱との水平方向相対速度

なお各マトリックス、ベクトルの添字とは、それらが時刻 $t$ におけるものであることを示す。

付加質量マトリックスが時間の関数として表われされているのは、図1(a)に示すように、波力の及ぶ範囲が時々刻々と変動することに帰属する。すなわち  $[M_a]_t$  は図1(b)に示す  $\alpha$  の関数となり、したがって時間関数となる。次に抗力係数マトリックス、質量係数マトリックスは、鉛直方向の波力分布が非常に複雑であるため、簡単には求め得ないが、本研究では、図1(b)に示すように、波力が一要素間では直線分布するものとし、分布波力と等価節点波力のみで仮想仕事が等しいものとし、

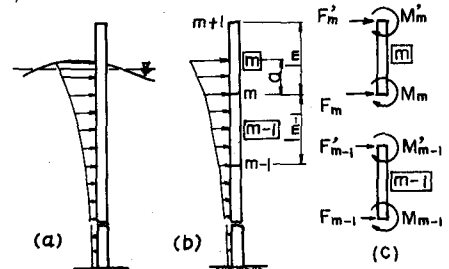


図1 等価節点波力

それらを決定した。それらが時間関数となるのは、前述のように波力の作用範囲が、時間的に変動するためである。ちなみに、図1(b)に示した要素  $m$  に対する抗力係数マトリックスについてみれば、次のようである。

$$\begin{bmatrix} f_{eq} \\ M_m \\ F_m \\ M_m' \end{bmatrix} = C_o \frac{PD}{2} \begin{bmatrix} \frac{\alpha}{2} - \frac{\alpha^3}{4Lm^2} + \frac{\alpha^4}{10Lm^3} & \frac{\alpha}{2} - \frac{3\alpha^3}{4Lm^2} + \frac{2\alpha^4}{5Lm^3} \\ \frac{\alpha^2}{6} - \frac{\alpha^3}{6Lm} + \frac{\alpha^4}{20Lm^2} & \frac{\alpha^2}{3} - \frac{\alpha^3}{2Lm} + \frac{\alpha^4}{5Lm^2} \\ \frac{\alpha^3}{4Lm^2} - \frac{\alpha^4}{10Lm^3} & \frac{3\alpha^3}{4Lm^2} - \frac{2\alpha^4}{5Lm^3} \\ -\frac{\alpha^3}{12Lm} + \frac{\alpha^4}{20Lm^2} & -\frac{\alpha^3}{4Lm} + \frac{\alpha^4}{5Lm^2} \end{bmatrix} \begin{cases} (u_m - \dot{u}_m) | \ddot{u}_m - \ddot{u}_m | \\ (u_{m+1} - \dot{u}_{m+1}) | \ddot{u}_{m+1} - \ddot{u}_{m+1} | \end{cases} \quad (2)$$

抗力係数マトリックス

式中、 $\{f_{eq}\}_m$  は図1(c)に示すような等価節点波力、 $C_o$  は抗力係数、 $P$  は水の密度、 $D$  は円柱の直径、 $\dot{u}_m, \ddot{u}_m, \dot{u}_{m+1}, \ddot{u}_{m+1}$  はそれぞれ、節点 $m$ における水粒子速度、節点変位速度、水面位置における水粒子速度、節点変位速度である。これより構造物全体に対する抗力係数マトリックスが時間関数になることが理解できる。質量マトリ

7スについても同様である。

③ 逐次積分法による数値解析 さて式(1)を円柱の変位、速度、加速度ベクトル $\mathbf{u}$ 、時刻 $t_n$ と $t_{n+1}$ 間の増分 $\{\Delta u\}_n$ ,  $\{\Delta \dot{u}\}_n$ ,  $\{\Delta \ddot{u}\}_n$ によって書き表わせば、

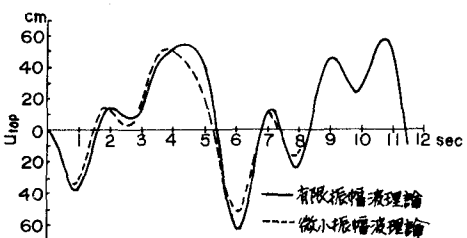
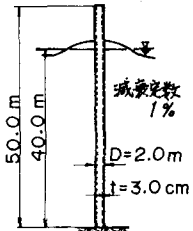
$$\begin{aligned} & \{[\mathbf{M}] + [\mathbf{M}_A]_n\} \{\Delta \ddot{u}\}_n + [\mathbf{C}] \{\Delta \dot{u}\}_n + [\mathbf{K}] \{\Delta u\}_n \\ &= \{[\mathbf{C}_D]\}_{n+1} \{\ddot{u}^*\}_{n+1} - \{[\mathbf{C}_D]\}_n \{\ddot{u}^*\}_n + \{[\mathbf{C}_M]\}_{n+1} \{\ddot{u}\}_{n+1} - \{[\mathbf{C}_M]\}_n \{\ddot{u}\}_n - \{([\mathbf{M}]_{n+1} - [\mathbf{M}]_n)\} \{\ddot{u}\}_n \quad (3) \end{aligned}$$

となる。式中の添字 $n, n+1$ は各マトリックス、ベクトルが時刻 $t_n, t_{n+1} = t_n + \Delta t$ におけるものであることを不可。式(3)を Clough の方法によって解く。いま微小な時間きざみの間で円柱の加速度が直線的に変化すると仮定すれば、式(3)は次のようにならう。

$$\begin{aligned} \{\Delta u\}_n &= \left[ \frac{6}{(\Delta t)^2} \{([\mathbf{M}] + [\mathbf{M}_A]_{n+1}) + \frac{3}{\Delta t} \{[\mathbf{C}] + [\mathbf{K}]\} \}^{-1} \{([\mathbf{C}_D]_{n+1} \{\ddot{u}^*\}_{n+1} - \{[\mathbf{C}_D]\}_n \{\ddot{u}^*\}_n + \right. \\ &\quad \left. \{[\mathbf{C}_M]_{n+1} \{\ddot{u}\}_{n+1} - \{[\mathbf{C}_M]\}_n \{\ddot{u}\}_n + \{([\mathbf{M}] + [\mathbf{M}_A]_n) + 2([\mathbf{M}] + [\mathbf{M}_A]_{n+1}) + \frac{4\Delta t}{3} \{[\mathbf{C}]\} \} \} \{\ddot{u}\}_n + \right. \\ &\quad \left. \frac{6}{\Delta t} \{([\mathbf{M}] + [\mathbf{M}_A]_{n+1}) + 3\{[\mathbf{C}]\}\} \{\ddot{u}\}_n \} \right] \end{aligned} \quad (4)$$

$\{\ddot{u}^*\}_{n+1}$ を除き式(3)の右辺は、時刻 $t_n$ の時点ですべて計算可能な値である。したがって時刻 $t_{n+1}$ における円柱の速度ベクトル $\{\dot{u}\}_{n+1}$ を適当に仮定し、反復計算によって $\{\Delta u\}_n$ を求めることができる。 $\{\Delta u\}_n$ が求められれば $\{\ddot{u}\}_{n+1}, \{\ddot{u}\}_{n+1}, \{\ddot{u}\}_{n+1}$ の計算は簡単である。したがって $\{\mathbf{u}\}, \{\dot{\mathbf{u}}\}$ に適当な初期値を与えること、この一連の操作により、任意時刻の応答量を決定することができる。

④ 計算モデルおよび計算結果 例として図2に示す基本周期が2.95秒の等断面円柱に、波高6.0m、周期6.0秒の規則波が作用した場合の応答解析を行なった。抗力係数および質量係数はそれぞれ1.4, 2.0とした。また水粒子速度および加速度については、水深が深く周期が短い場合には、微小振幅波理論と有限振幅波理論であるストークス波の3rd-order理論のいずれも実験値とよく一致し、周期が長くなるとストークス波理論が実験結果によく適合するとの岩垣・酒井<sup>3)</sup>の研究結果を鑑み、両理論により算定した。次に数値計算の精度に関しては、要素数さらには時間きざみ $\Delta t$ の大きさが問題になるが、今回は 図2 解析モデル要素数については、断面が等断面であることと、計算時間上への制約条件により要素を、時間きざみについては0.005秒を採用した。さて計算結果(頂部変位)を図3に示す。周期が比較的短いため、微小振幅波理論とストークス波理論による応答量の差異はあまり認められない。さらに規則波を受けながら一見不規則とも思える振動性状を示しているのは、波と円柱との相互作用に帰因するものである。



⑤ あとがき 要素数に関する精度の検討は十分とは言えないが若干の計算によれば要素と要素にした場合の結果にはほとんど差異は見られなかった。また時間きざみについては0.01秒を用いてもほぼ良好な結果が得られたが、いずれも今後さらに検討すべき問題であると考えている。

#### 参考文献

- 1) R. P. Shabinski, E. L. Wilson and L. G. Selna: Dynamic Response of Deepwater Structures, Civil Engineering in the Oceans, pp. 123~146, 1967
- 2) 今井貫爾、成田知明: 海洋構造物の設計に関する研究、鹿島技術年報、第20号、pp. 215~222, 1972
- 3) 岩垣雄一、酒井哲郎: 有限振幅波の水粒子速度に関する実験 第16回海岸工学講演会講演集、pp. 15~22, 1969